



Nero di Gonzaga

Vasile Simone G., Bignami C., Imazio S., Meglioraldi S., 2015. Nero di Gonzaga. In: Italian Vitis Database, www.vitisdb.it, ISSN 2282-006X

release 21/01/2017, ultimo aggiorn. 21/01/2017 url <http://vitisdb.it/accessions/show/15878>

Informazioni gestite da

Dipartimento di Scienze della Vita - Università degli Studi di Modena e Reggio Emilia

Ringraziamenti

Fondazione Ager, Istituto A. Zanelli (RE)

Informazioni generali

nome Nero di Gonzaga
nazione di selezione Italia
provincia di selezione Reggio Emilia
istituzione custode Dipartimento di Scienze della Vita - Università degli Studi di Modena e Reggio Emilia
collezione Azienda Agraria dell'Istituto d'istruzione superiore Antonio Zanelli-Reggio Emilia

codice ITA421-RE26
regione di selezione Emilia-Romagna
località di selezione non disponibile

Varietà & clone

tipo di origine spontanea
specie Vitis vinifera
varietà Nero di Gonzaga
clone non disponibile
trueness to type accertato con microsatelliti

genere Vitis
sub specie sativa
codice della varietà IVD-var_155

Trueness to type

True-name

confermato **si**

►bibliografia correlata (1)

| autori | anno | titolo | rivista | citazione |
|---|------|--|---------|---------------------------------|
| Meglioraldi S., Ruffa P., Raimondi S., Storchi M., Torello Marinoni D., Vingione M., Boccacci P., Schneider A., | 2013 | Conoscere il patrimonio viticolo per tutelarlo | | L'Informatore agrario. 23:50-54 |

Trueness to type accertato con rilievi morfologici (ampelografici)

accertamento con rilievi morfologici (ampelografici) **non accertato**

Trueness to type accertato con microsatelliti

accertamento con microsatelliti **accertato**

►bibliografia correlata (1)

| autori | anno | titolo | rivista | citazione |
|---|------|--|---------|---------------------------------|
| Meglioraldi S., Ruffa P., Raimondi S., Storchi M., Torello Marinoni D., Vingione M., Boccacci P., Schneider A., | 2013 | Conoscere il patrimonio viticolo per tutelarlo | | L'Informatore agrario. 23:50-54 |

loci confrontati **9**

loci identici **9**

discrepanze **n.d.**

Profilo microsatellite standardizzato

| loci: | loci predefiniti (9) | | | | | | | | | | | | | | | | | |
|-------------|------------------------|-----|-------|-----|-------|-----|--------|-----|---------|-----|---------|-----|--------|-----|--------|-----|--------|-----|
| | VVS2 | | VVMD5 | | VVMD7 | | VVMD27 | | VrZAG62 | | VrZAG79 | | VVMD25 | | VVMD28 | | VVMD32 | |
| locus SSR: | A1 | A2 | A1 | A2 | A1 | A2 | A1 | A2 | A1 | A2 | A1 | A2 | A1 | A2 | A1 | A2 | A1 | A2 |
| allele: | A1 | A2 | A1 | A2 | A1 | A2 | A1 | A2 | A1 | A2 | A1 | A2 | A1 | A2 | A1 | A2 | A1 | A2 |
| dimensione: | 135 | 155 | 225 | 237 | 247 | 257 | 185 | 195 | 194 | 196 | 243 | 251 | 242 | 256 | 247 | 267 | 263 | 270 |

Immagini



germoglio



germoglio pagina superiore



germoglio pagina inferiore



foglia



foglia pagina superiore



foglia pagina inferiore



seno peziolare



fiore



grappolo






acino



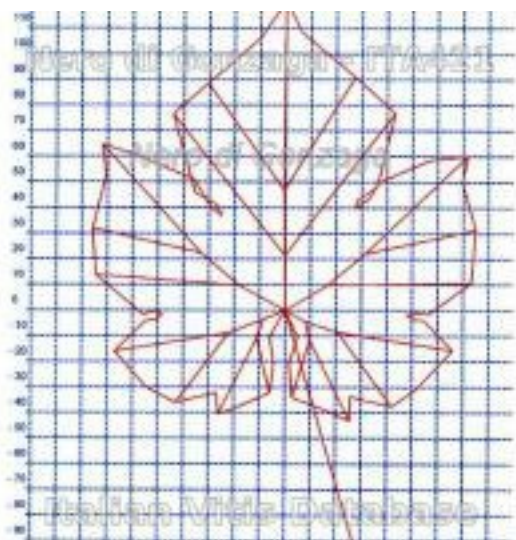
vinacciolo

Ampelografia

| OIV | descrizione | valore | | immagini |
|-----|---|--------|----------------------|----------|
| | | | | |
| 001 | Giovane germoglio: apertura dell'apice | 5 | completamente aperto | |
| 003 | Giovane germoglio: intensità della pigmentazione antocianica dei peli striscianti dell'apice | 3 | bassa | |
| 004 | Giovane germoglio: densità dei peli striscianti dell'apice | 7 | elevata | |
| 006 | Germoglio: portamento (prima della legatura) | 3 | semi-eretto | |
| 007 | Germoglio: colore del lato dorsale degli internodi | 3 | rosso | |
| 008 | Germoglio: colore del lato ventrale degli internodi | 1 | verde | |
| 016 | Germoglio: numero di viticci consecutivi | 1 | 2 o meno | |
| 051 | Foglia giovane: colore della pagina superiore del lembo (4 a foglia) | 4 | ramato - rosso | |
| 053 | Foglia giovane: densità peli striscianti tra le nervature principali della pagina inferiore (4a foglia) | 7 | elevata | |
| 065 | Foglia adulta: dimensione del lembo | 3 / 7 | piccolo / grande | |
| 067 | Foglia adulta: forma del lembo | 2 | cuneiforme | |

| | | | | |
|-------|--|-------|---|---|
| 068 | Foglia adulta: numero dei lobi | 4 | sette |  |
| 070 | Foglia adulta: distribuzione pigmentazione antocianica nervature principali pagina superiore | 1 / 2 | assente / solo al punto peziolare | |
| 072 | Foglia adulta: depressioni del lembo | 3 | deboli | |
| 074 | Foglia adulta: profilo del lembo in sezione trasversale | 4 | revoluto | |
| 075 | Foglia adulta: bollosità della pagina superiore del lembo | 3 | bassa | |
| 076 | Foglia adulta: forma dei denti | 2 | entrambi i lati rettilinei | |
| 078 | Foglia adulta: lunghezza dei denti in rapporto alla loro larghezza | 5 / 7 | medi / lunghi | |
| 079 | Foglia adulta: grado di apertura / sovrapposizione dei bordi del seno peziolare | 5 / 7 | chiuso / sovrapposto | |
| 080 | Foglia adulta: forma della base del seno peziolare | 2 | a parentesi graffa ({}) | |
| 081-1 | Foglia adulta: denti del seno peziolare | 1 | assenti | |
| 081-2 | Foglia adulta: base del seno peziolare delimitata dalla nervatura | 1 | non delimitata | |
| 082 | Foglia adulta: grado di apertura / sovrapposizione dei seni laterali superiori | 3 | leggermente sovrapposti | |
| 083-2 | Foglia adulta: denti nei seni laterali superiori | 1 | assenti | |
| 084 | Foglia adulta: densità dei peli striscianti tra le nervature principali sulla pagina inferiore del lembo | 1 | nulla o molto bassa | |
| 087 | Foglia adulta: densità dei peli eretti sulle nervature principali della pagina inferiore del lembo | 3 | bassa | |
| 094 | Foglia adulta: profondità dei seni laterali superiori | 5 | medio | |
| 151 | Fiore: organi sessuali | 4 (4) | stami riflessi e gineceo completamente sviluppato | |
| 202 | Grappolo: lunghezza (escluso il peduncolo) | 5 | medio |  |
| 204 | Grappolo: compattezza | 3 | spargolo | |
| 206 | Grappolo: lunghezza del peduncolo del grappolo principale | 3 | corto | |
| 208 | Grappolo: forma | 3 | a imbuto | |
| 209 | Grappolo: numero di ali del grappolo principale | 3 | 3 - 4 ali | |
| 220 | Acino: lunghezza | 3 / 5 | corto / medio |  |
| 221 | Acino: larghezza | 3 / 5 | stretto / medio | |
| 223 | Acino: forma | 2 | sferoidale | |
| 225 | Acino: colore della buccia | 6 | blu nero | |
| 231 | Acino: intensità della pigmentazione antocianica della polpa | 1 | nulla o molto debole | |
| 235 | Acino: consistenza della polpa | 1 | molle | |
| 236 | Acino: particolarità dell'aroma | 1 | nessuna | |
| 241 | Acino: sviluppo dei vinaccioli | 1 | nessuno | |

Ampelometria



foglia ampelometrica

OIV

| OIV | PDF | descrizione | valore | |
|-----|-----|--|--------------|--|
| 601 | PDF | Foglia adulta: lunghezza della nervatura N1 | (Ø 120.70) | |
| 602 | PDF | Foglia adulta: lunghezza della nervatura N2 | (Ø 94.10) | |
| 603 | PDF | Foglia adulta: lunghezza della nervatura N3 | (Ø 68.70) | |
| 604 | PDF | Foglia adulta: lunghezza della nervatura N4 | (Ø 50.90) | |
| 605 | PDF | Foglia adulta: distanza dal seno peziolare al seno laterale superiore | (Ø 48.50) | |
| 606 | PDF | Foglia adulta: distanza dal seno peziolare al seno laterale inferiore | (Ø 48.00) | |
| 607 | PDF | Foglia adulta: angolo tra N1 e N2 misurato alla prima biforcazione | (Ø 59.80) | |
| 608 | PDF | Foglia adulta: angolo tra N2 e N3 misurato alla prima biforcazione | (Ø 64.10) | |
| 609 | PDF | Foglia adulta: angolo tra N3 e N4 misurato alla prima biforcazione | (Ø 61.50) | |
| 610 | PDF | Foglia adulta: angolo tra N3 e la tangente tra il punto peziolare e l'estremità N5 | (Ø 72.50) | |
| 611 | PDF | Foglia adulta: lunghezza della nervatura N5 | (Ø 24.00) | |
| 612 | PDF | Foglia adulta: lunghezza del dente di N2 | (Ø 10.40) | |
| 613 | PDF | Foglia adulta: larghezza del dente di N2 | (Ø 15.90) | |
| 614 | PDF | Foglia adulta: lunghezza del dente di N4 | (Ø 7.80) | |
| 615 | PDF | Foglia adulta: larghezza del dente di N4 | (Ø 11.40) | |
| 617 | PDF | Foglia adulta: distanza tra l'estremità di N2 e l'estremità della prima nervatura secondaria di N2 | (Ø 54.60) | |
| 618 | PDF | Foglia adulta: apertura/sovrapposizione del seno peziolare | (Ø -9.50) | |

Superampelo

nessun descrittore SuperAmpelo presente per Nero di Gonzaga

Fenologia & produzione

nessun descrittore presente per Nero di Gonzaga

Vegeto-produttivo

| quantità produzione | valore | deviazione standard | numero di anni |
|-------------------------|---------|---------------------|----------------|
| Peso medio grappolo (g) | 242.650 | 66.180 | 2 |
| Peso di 100 acini (g) | 228.820 | 64.280 | 2 |

| qualità produzione | valore | deviazione standard | numero di anni |
|--------------------------------------|--------|---------------------|----------------|
| Tenore in zucchero del mosto (°Brix) | 21.500 | 0.280 | 2 |
| pH (pH) | 2.657 | 0.561 | 2 |
| Acidità titolabile del mosto (g/l) | 11.616 | 0.748 | 2 |

Polifenoli uve

nessun descrittore polifenolico presente per Nero di Gonzaga

Aromi uve

nessun descrittore aromatico presente per Nero di Gonzaga

Altri descr.

nessun "altro" descrittore disponibile per Nero di Gonzaga

Bibliografia correlata (1)

| autori | anno | titolo | rivista | citazione |
|---|------|--|---------|---------------------------------|
| Meghioraldi S., Ruffa P., Raimondi S., Storchi M., Torello Marinoni D., Vingione M., Boccacci P., Schneider A., | 2013 | Conoscere il patrimonio viticolo per tutelarlo | | L'Informatore agrario. 23:50-54 |

Accessioni della medesima varietà (1)

- Nero di Gonzaga - Dipartimento di Scienze della Vita - Università degli Studi di Modena e Reggio Emilia

Note

<p>Non sono state sino ad ora trovate citazioni e notizie storiche sul Nero di Gonzaga. Meghioraldi et al. (2013) ne hanno verificato la sinonimia con la Scorzamara della Val d'Enza e con una vite reperita ad Albinea, nelle colline della provincia di Reggio Emilia. La precisazione della località, accanto al nome Scorzamara, è necessaria, in quanto si tratta di una denominazione attribuita a varietà diverse, accomunate dalla astringenza della buccia.</p>